

Автореф. Н
Н70

Одеська державна академія холоду

Ніченко Сергій Володимирович

УДК 621.564.25:551.510.534

**ВПЛИВ КОМПРЕСОРНИХ МАСТИЛ НА ТЕРМОДИНАМІЧНІ ВЛАСТИВОСТІ
РОБОЧИХ ТІЛ ХОЛОДИЛЬНОГО УСТАТКУВАННЯ**

Спеціальність 05.14.06 - Технічна теплофізика та
промислова теплоенергетика

АВТОРЕФЕРАТ
дисертації на здобуття наукового ступеня
кандидата технічних наук



Дисертацію є рукопис

Робота виконана в Одеській державній академії холоду Міністерства освіти і науки України

Науковий керівник -

доктор технічних наук, професор кафедри інженерної теплофізики Одеської державної академії холоду Железний Віталій Петрович

Офіційні опоненти -

доктор технічних наук, професор Одеської державної академії холоду Мазур Віктор Олександрович.

кандидат технічних наук, доцент Харківського національного аерокосмічного університету ім. Н.Е. Жуковського "ХАІ" Пєтухов Ілля Іванович

Захист дисертації відбудеться "10 листопада 2008 р. у 17 годин в ауд. 108 на засіданні спеціалізованої вченої ради Д.41.087.01 в Одеській державній академії холоду за адресою: вул. Дворянська, 1/3, м. Одеса, 65082, Україна.

З дисертацією можна ознайомитися в бібліотеці ОДАХ за адресою: вул. Дворянська, 1/3, м. Одеса, 65082, Україна.

"9" 10 2008 року.

Мілованов В.І.

Дата

1

ЗАГАЛЬНА ХАРАКТЕРИСТИКА РОБОТИ

XV/1173
ІНСТИТУТ ХОЛОДА
ОДАХ
БІБЛІОТЕКА

Актуальність теми. Переход на озононеруйнівні природні холдоагенти вимагає розробки нових компресорних мастик, що забезпечують оптимальні умови експлуатації нового покоління холодильного устаткування. Наявність домішок мастика в холдоагенті впливає на його термодинамічні властивості. Тому енергетична ефективність холодильного циклу, інтенсивність теплообміну у випарнику й конденсаторі будуть залежати не тільки від застосованого холдоагенту, але й від оптимального вибору компресорного мастика.

У цей час експериментальні дослідження залишаються практично єдиним джерелом одержання достовірної інформації про властивості розчинів холдоагент/мастило (РХМ), які повинні розглядатися як реальні робочі тіла (РРТ) для холодильного устаткування. Використання існуючих теоретичних моделей стосовно до РХМ зводиться, в основному, до апроксимації експериментальних даних про фазові рівноваги рідини-пар. Крім того, для досягнення прийнятного ступеня адекватності ці моделі вимагають значного обсягу експериментальних даних.

З аналізу опублікованої в пресі інформації про властивості РХМ випливає, що більшість робіт присвячена дослідженням фазових рівноваг і в'язкості. Разом з тим, дані з густини, капілярної сталої, поверхневого натягу й калоричних властивостей РХМ у літературі практично відсутні. Дотепер залишаються недостатньо вивченими питання зміни концентрації домішок мастика в холдоагенті у випарнику й методи оцінки впливу домішок мастика на параметри ефективності термодинамічного циклу, що затрудняє розробку технічних рішень, спрямованих на підвищення енергетичної ефективності сучасного покоління побутових холодильників.

Серед вчених, які плідно працювали в рамках даних наукових напрямків, і на публікації яких автор опирався при вирішенні розглянутих у дисертації завдань, варто назвати такі імена як: Бадількес И.С., Вамлінг Л. (Vamling L.), Ватанабе К. (Watanabe K.), Геллер В.З., Юбі-Ідрісі М. (Youbi-Idrissi M.), Барбоса Дж.Р. (Barbosa J. R.), Спаушус Х.О. (Spauschus H. O.), Кедзірський М.А. (Kedzierski M. A.), Йокозекі А. (Yokozeki A.), Крузе Х. (Kruse H.), Лавренченко Г.К., Мазур В.О., Мельцер Л.З., Філіппов Л.П. та ін.

Зв'язок роботи з науковими програмами. Дисертаційна робота виконана відповідно до: Постанови Верховної Ради України від 04.02.2004 р. про ратифікацію Кіотського протоколу, що набув чинності 16.02.2005; Постанови Кабінету Міністрів України №624 від 16.05.2002 р. «Про посилення державного регулювання ввозу і вивозу з України озоноруйнівніх речовин»; Постанови Кабінету Міністрів України №256 від 04.03.2004 р., що затвердила програму призупинення виробництва і використання озоноруйнівних речовин на 2004-2030 рр. Дисертаційна робота також є складовою частиною досліджень, проведених у рамках виконання: проекту № 10.02/003 Т05К-001 Державного фонду фундаментальних досліджень Міністерства освіти і науки України й Білоруського республіканського фонду фундаментальних досліджень, затвердженого наказом Міністерства освіти і науки України № 356 від 14.06.2005 р. (науково-технічна робота № Ф10/ 34-2005, номер держреєстрації – 0105U007471) і науково-дослідної роботи МК 06/7, номер держреєстрації – 0106U002619.

Метою і завданням дослідження є створення експериментально обґрунтованої бази довідкових даних з термодинамічних властивостей розчинів холдоагенту R-600a з компресорним мастилом

Reniso WF 15A, які широко застосовуються при виробництві побутової холодильної техніки; експериментальне дослідження калоричних властивостей розчину холодаагенту R-600a з компресорним мастилом Reniso WF 15A; оцінка впливу домішок мастил у різних холодаагентах на енергетичні показники компресорної системи.

Об'єктами дослідження є розчини озонобезпечного холодаагенту R-600a з компресорним мастилом Reniso WF 15A.

Предметом дослідження є: термодинамічні властивості розчинів холодаагенту R-600a з компресорним мастилом Reniso WF 15A; діаграми тиск-ентальпія й ентальпія-концентрація для РРТ R-600a/Reniso WF 15A, R-600a/XMI Азмол, R-134a+R-152a/XF 22c16, R-134a/Castrol Icematic SW22, R-134a/Mobil EAL Arctic 22, R-245fa/Planetelf ACD 100FY; показники ефективності компресорної системи при використанні РРТ R-600a/Reniso WF 15A, R-600a/XMI Азмол, R-134a+R-152a/XF 22c16, R-134a/Castrol Icematic SW22, R-134a/Mobil EAL Arctic 22, R-245fa/Planetelf ACD 100FY.

Для досягнення поставленої мети було необхідно вирішити наступні завдання:

- виконати експериментально-розрахункове дослідження фазових рівноваг рідина-рідина, рідина-пара, густини й поверхневого натягу розчинів озононеруйнівного холодаагенту R-600a з мастилом Reniso WF 15A;
- виконати експериментально-розрахункове дослідження калоричних властивостей розчинів озононеруйнівного холодаагенту R-600a з мастилом Reniso WF 15A;
- розробити таблиці довідкових даних з термодинамічних властивостей розчинів R-600a з мастилом Reniso WF 15A;
- розробити діаграми тиск-ентальпія й діаграми Меркеля для реальних робочих тіл R-600a/Reniso WF 15A, R-600a/XMI Азмол, R-134a+R-152a/XF 22c16, R-134a/Castrol Icematic SW22, R-134a/Mobil EAL Arctic 22, R-245fa/Planetelf ACD 100FY;
- зробити оцінку впливу домішок компресорного мастила в РРТ на показники енергетичної ефективності компресорної системи й розробити практичні рекомендації для забезпечення нормальної циркуляції домішок мастила в холодаагенті по контуру холодильної установки.

Рішення сформульованих завдань досягнуто в рамках наступних методів дослідження:

експериментальних досліджень, включаючи:

- дослідження фазових рівноваг рідина-рідина й рідина-пара, густини, поверхневого натягу, ентальпії та теплотворності розчинів R-600a/Reniso WF 15A;
- **теоретичних досліджень**, включаючи:
 - розрахунок псевдокритичних параметрів РХМ;
 - розрахунок таблиць довідкових даних з термодинамічних властивостей для робочого тіла R-600a/Reniso WF 15A;
 - розробку діаграм тиск-ентальпія й діаграм Меркеля для реальних робочих тіл R-600a/Reniso WF 15A, R-600a/XMI Азмол, R-134a+R-152a/XF 22c16, R-134a/Castrol Icematic SW22, R-134a/Mobil EAL Arctic 22, R-245fa/Planetelf ACD 100FY;
 - оцінку показників ефективності компресорної системи з урахуванням впливу домішок мастила в холодаагенті на термодинамічні властивості робочих тіл R-600a/Reniso WF 15A, R-600a/XMI Азмол, R-134a+R-152a/XF 22c16, R-134a/Castrol Icematic SW22, R-134a/Mobil EAL Arctic 22,

R-245fa/Planetelf ACD 100FY.

Методи дослідження. При вирішенні зазначених задач використовувались методи експериментального визначення тиску насиченої пари, густини, капілярної сталої, поверхневого натягу а також калоричних властивостей РХМ на лінії кипіння. При обробці отриманих експериментальних даних і розробці таблиць довідкових даних з властивостей РРТ використовувались методи теорії термодинамічної подоби, адаптовані до розрахунку властивостей РХМ.

Наукова новизна виконаної роботи полягає в тому, що:

- уперше проведено експериментально-розрахункове дослідження фазових рівноваг рідина-рідина, рідина-пара, густини й поверхневого натягу, ентальпії та теплотворності розчинів R-600a/Reniso WF 15A;
- показано, що розрахунок надлишкової ентальпії по формулі Кірхгофа не узгоджується з результатами експериментального дослідження;
- уперше запропоновано при термодинамічному моделюванні тиску насиченої пари і густини РХМ використовувати різні значення псевдокритичної температури, які повинні належати до різних складів об'ємної рідкої фази й поверхневого шару;
- створено таблиці довідкових даних з термодинамічних (включаючи калоричні) властивостей розчинів R-600a у компресорному мастилі Reniso WF 15A і на їхній основі розроблені діаграми тиск-ентальпія й діаграми Меркеля для реального робочого тіла R-600a/Reniso WF 15A;
- виконано узагальнення отриманих результатів дослідження впливу домішок мастила у різних холодаагентах на показники енергетичної ефективності компресорної системи.

Обґрунтованість і достовірність отриманих наукових результатів підтверджується проведенням тарувальних експериментів, детальним аналізом похибок отриманих експериментальних даних, адекватним описом отриманих експериментальних даних і зіставленням розрахованих показників ефективності компресорної системи з результатами експлуатаційних випробувань холодильного устаткування, а також висновками, отриманими іншими авторами.

Наукове значення мають такі результати дослідження:

- експериментальні дані з тиску насиченої пари, густини, капілярної сталої, поверхневого натягу а також калоричних властивостей розчинів R-600a/Reniso WF 15A;
- методика визначення псевдокритичної температури РХМ окремо для опису поверхневих (тиск насиченої пари, поверхневий натяг) та об'ємних (густина, ентальпія) властивостей;
- експериментальне дослідження калоричних властивостей РХМ;
- експериментальне визначення надлишкової ентальпії (ентальпії змішування);
- розробка діаграм тиск-ентальпія та ентальпія-концентрація для різних реальних робочих тіл, якими є розчини холодаагент/мастило;
- методика оцінки впливу домішок компресорних мастил на енергетичну ефективність компресорної системи;

Практична цінність результатів роботи полягає в тому, що отримано великий обсяг даних з термодинамічних властивостей розчинів R-600a/Reniso WF 15A, побудовані діаграми тиск-ентальпія й діаграми Меркеля для різних реальних робочих тіл (R-600a/Reniso WF 15A, R-600a/XMI Азмол, R-134a+R-152a/XF 22c16, R-134a/Castrol Icematic SW22, R-134a/Mobil EAL Arctic 22,

R-245fa/Planetelf ACD 100FY), необхідні при проектуванні й проведенні експлуатаційних досліджень нового покоління холодильної техніки.

Отримані дані про термодинамічні властивості робочого тіла R-600a/Reniso WF 15A і результати дослідження впливу домішок мастила на показники енергетичної ефективності компресорної системи підготовлені для передачі для затвердження у якості рекомендованих довідкових даних у державне підприємство «Термодинамічний центр» Міністерства енергетики України (м.Київ), а також на АТ «НОРД» (м. Донецьк), ЗАТ «Атлант» (м. Мінськ) і ВАТ «РЕФМА» (м. Мелітополь) для практичного впровадження.

Особистий внесок здобувача. Дисертація виконана при консультаціях наукового керівника. На окремих етапах виконання досліджень у ній брали участь співробітники лабораторії кафедри інженерної теплофізики ОДАХ - співавтори публікацій. Особисто здобувачем розроблено й створена експериментальна установка по вивченю калоричних властивостей речовин, крім того, він брав участь у створенні установки по дослідження розчинності газів у рідинах. Дисертантом виконаний основний обсяг експериментальних досліджень фазових рівноваг, густини, поверхневого натягу й ентальпії розчинів R-600a/Reniso WF 15A, на підставі яких розраховані таблиці довідкових даних. Особисто дисертантом побудовані діаграми тиску-ентальпія й діаграми Меркеля для різних РРТ і проведена теоретична оцінка впливу домішок мастила на енергетичну ефективність компресорної системи.

Апробація роботи. Основні результати виконаних досліджень доповідалися автором на Міжнародній науково-технічній конференції «Сучасні проблеми холодильної техніки й технології», м. Одеса, 2005; Міжнародній науково-технічній конференції «Промисловий холод і аміак», м. Одеса, 2006; Міжнародній науково-технічній конференції «Сучасні проблеми холодильної техніки й технології», м. Одеса, 2007; 4-й міжнародній конференції «Фізика рідкого стану: сучасні проблеми», м. Київ, 2008; Крім того, наукові результати, викладені в дисертації, представлялися співавторами робіт на XI Російській конференції з теплофізичних властивостей речовин, м. Санкт-Петербург (Росія, 2005); 6-й Міжнародній конференції по компресорах і холодоагентах «Компресори-2006», м. Паперничка (Словаччина, 2006); 5-й міжнародній конференції «Проблеми промислової теплотехніки», м. Київ, 2007.

Публікації. Основний зміст дисертації викладений в 9 статтях, опублікованих у професійних періодичних журналах, і 10 друкованих працях, опублікованих у формі доповідей і тез у збірниках наукових праць міжнародних конференцій.

Структура й обсяг дисертації. Дисертація складається із вступу, п'яти розділів, висновків, списку використаної літератури й двох додатків. Робота містить 218 сторінок тексту, включаючи 77 рисунків, 16 таблиць і 159 найменувань бібліографічних джерел.

ЗМІСТ РОБОТИ

У вступі обґрунтована актуальність теми дисертації, відображеній її зв'язок з існуючими державними програмами й держбюджетною науковою тематикою ОДАХ, сформульована мета й визначені завдання дослідження, а також викладені основні наукові результати, зазначений особистий внесок здобувача, відомості про апробацію результатів дисертаційної роботи й публікації.

У першому розділі наведено огляд виконаних експериментальних і теоретичних робіт, присвячених дослідженням фазових рівноваг (рідина-рідина, рідина-пара), густини й калоричних властивос-

тей розчинів озононеруйніючих холодоагентів з компресорними мастилами.

Проведений аналіз виконаних експериментальних досліджень термодинамічних властивостей РХМ дозволяє дійти висновку, що в літературі присутня досить обмежена інформація про термічні властивості для розчинів озононеруйнівих холодоагентів з компресорними мастилами. Практично відсутні дані з густини, калоричних властивостях і поверхневого натягу РХМ. Інформація з термодинамічних властивостей розчинів досить перспективного для побутових холодильних приладів, систем кондиціонування й теплових насосів холодоагенту R-600a з комерційними мастилами відсутня.

На підставі проведеного аналізу визначені методи рішення поставлених у дисертації завдань, які спрямовані на вивчення термодинамічних властивостей розчинів R-600a/компресорне мастило Reniso WF 15A і подальший розвиток існуючих методів прогнозування термодинамічних властивостей настільки складних термодинамічних систем, до яких відносяться розчини холодоагентів з мастилами.

Другий розділ присвячений комплексному експериментальному дослідженню тиску насиченої пари, густини й капілярної сталої розчинів R-600a/компресорне мастило Reniso WF 15A з наступним розрахунковим вивченням закономірностей зміни зазначених властивостей.

Експериментальні дослідження фазових рівноваг, густини й капілярної сталої розчинів R-600a/компресорне мастило Reniso WF 15A були проведені на добре зарекомендованій експериментальній установці, призначений для комплексного дослідження термодинамічних властивостей РХМ [1]. У даній установці реалізуються статичний метод вимірю тиску насиченої пари, піксометричний метод вимірю густини рідини й модифікований диференціальний метод капілярного підняття для вимірю поверхневого натягу.

Результати проведеного дослідження демонструють рис. 1-6. Виконаний аналіз показує, що повна відносна похибка вимірю тиску насиченої пари переважає в межах $\delta P_s = (0,3...2...2,7)\%$, густини $\delta \rho = (0,8...1...1,2)\%$, капілярної сталої $\delta \alpha^2 = (0,8...3...3,62)\%$,

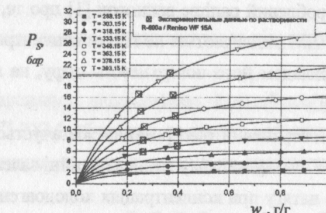


Рис. 1. Концентраційна залежність тиску насиченої пари РХМ R-600a/Reniso WF 15A

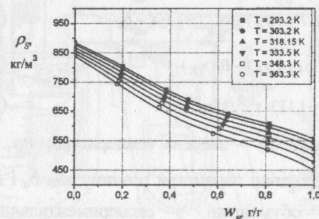


Рис. 2. Концентраційна залежність густини рідкої фази РХМ R-600a/Reniso WF 15A

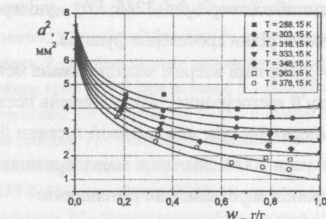


Рис. 3. Концентраційна залежність капілярної сталі РХМ R-600a/Reniso WF 15A

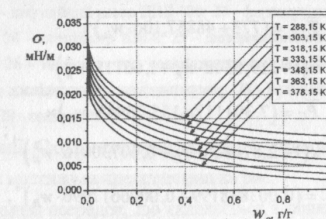


Рис. 4. Концентраційна залежність поверхневого натягу R-600a/Reniso WF 15A

поверхневого натягу $\delta\sigma = (0,9 \dots 4,4 \dots 4,9)\%$, концентрації $(0,01 \dots 0,15) \%$. Проведене дослідження підтверджує зроблений раніше висновок [1] про те, що тиск насиженої пари, капілярна стала й поверхневий натяг РХМ визначаються не тільки концентрацією холодаагенту в повному обсязі рідкої фази розчину, але й складом його поверхневого шару, на який істотно впливають процеси адсорбції на міжфазній границі.

Поверхневий шар розчину збагачується компонентом, додавання якого зменшує поверхневий натяг. У цьому випадку концентраційні залежності тиску насиженої пари, капілярної сталої й поверхневого натягу при концентраціях холодаагента w_R $(0,6 \dots 1)$ повинні носити пологий характер (див. рисунки 1, 2 і 4).

Експериментальні дані з тиску насиженої пари і густини рідкої фази розчинів R-600a/Reniso WF 15A апроксимовані залежностями вигляду:

$$\ln P_S = \ln \bar{P}_C(w_R) - \alpha_R(w_R) \cdot \tau - b_d \cdot \tau^{2,64}; \quad (1)$$

$$\ln \rho_{l,S} = \ln \bar{\rho}_C(w_R) + B_l(w_R) \cdot \tau^{\beta F(\tau)}; \quad (2)$$

$$F(\tau) = 1 - 1,113 \cdot \tau^{0,4} / \ln \tau, \quad (3)$$

де $\tau = \ln(\bar{T}_C / T)$ – зведенна температура; \bar{P}_C , \bar{T}_C і $\bar{\rho}_C$ – псевдокритичні параметри розчину; α_R , b_d і B_l – коефіцієнти, обумовлені з експериментальних даних; β – показник ступеня, значення якого прийнято рівним величині, яка отримана для відповідного індексу в рамках масштабної теорії, $\beta = 0,3245$; $F(\tau)$ – універсальна для нормальних рідин кросоверна функція.

У дисертації вперше запропонована методика розрахунку й застосування різних значень псевдокритичної температури при моделюванні густини й тиску насиженої пари РХМ. Значення псевдокритичних параметрів розчинів апроксимовані рівняннями:

$$\bar{T}_{c,L} = (773 - 717,492 \cdot n_R) \times \\ \times (1 - 0,396439 \cdot n_R - 0,4674478 \cdot n_R^2)^{-1}; \quad (4)$$

$$\bar{T}_{c,S} = (773 + 48857,106 \cdot w_R) \times \\ \times (1 + 119,0348 \cdot w_R + 1,66115 \cdot w_R^2)^{-1}; \quad (5)$$

$$\bar{P}_C = (7,391117 + 155,23445 \cdot w_R) \times \\ \times (1 + 2,870486 \cdot w_R + 0,60730016 \cdot w_R^2)^{-1}; \quad (6)$$

$$\bar{\rho}_C = (0,003838199 + 0,0006617096 \cdot w_R)^{-1}, \quad (7)$$

де $\bar{T}_{c,L}$ й $\bar{T}_{c,S}$ – значення псевдокритичних температур для густини й тиску насиженої пари; w_R – масова частка холодаагенту; n_R – мольна частка холодаагенту в розчині. Виконане ебулюметричним методом дослідження показує, що молекулярна маса компресорного мастила Reniso WF 15A дорівнює 319 г/моль.

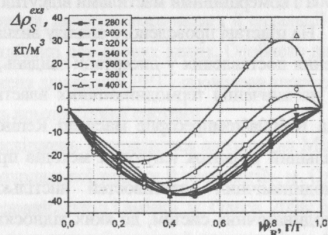


Рис. 5. Концентраційна залежність надлишкових функцій для густини рідкої фази РХМ R-600a/Reniso WF 15A

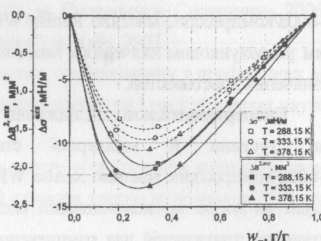


Рис. 6. Концентраційні залежності надлишкових функцій для поверхневого натягу й капілярної сталої РХМ R-600a/Reniso WF 15A

Експериментальні дані з капілярної сталої й поверхневого натягу розчинів R-600a/Reniso WF 15A апроксимовані рівняннями поліноміального виду.

Відхилення отриманих експериментальних даних від значень, розрахованих за рівняннями (1) і (2), не перевищують відповідних оцінок похибок.

На рисунках 5 і 6 представлена концентраційні залежності надлишкових функцій для густини $\Delta\rho_s^{ex}$, капілярної сталої $\Delta\sigma^{ex}$ і поверхневого натягу $\Delta\sigma^{ex}$ РХМ, обчислені як різниці між значеннями термодинамічних властивостей реального розчину й значеннями, розрахованими по адитивності з використанням масових концентрацій компонентів.

З характеру зміни надлишкових функцій випливає, що холодаагент із мастилом утворюють суміш із сильно вираженою зеотропною поведінкою. Тому зазначені термодинамічні властивості розчинів не можуть бути розраховані в рамках застосовуваних різними авторами адитивних моделей.

Третій розділ дисертації присвячений експериментально-розрахунковому дослідження розчинності холодаагенту R-600a з компресорним мінеральним мастилом Reniso WF 15A. Метою проведеного дослідження є розробка експериментальної установки для вивчення селективної розчинності багатокомпонентних сумішевих холодаагентів у мастилах і проведення тарувальних експериментів для розчинів R-600a/Reniso WF 15A, які б підтверджували її працевздатність.

У дисертації наведено опис експериментальної установки, що реалізує статичний метод дослідження розчинності холодаагенту в мастилі з відбором проби рідкої фази розчину. Описується методика проведення дослідження розчинності холодаагентів з компресорними мастилами. У розділі представлені результати експериментальних досліджень, проведена оцінка похибки обмірюваних величин. Схема експериментальної установки для дослідження розчинності холодаагентів з компресорними мастилами представлена на рис. 7.

Основним робочим вузлом установки є вимірювальний осередок, що складається з рівноважної камери змішання 2, «гарячих» запірних вентилів B1, B13 і мембраниного нуль-індикатора 12 у системі виміру тиску насиженої пари досліджуваних розчинів. Рівноважна камера являє собою товстостійну циліндричну посудину, виготовлену зі сталі марки 1Х18Н10Т. У камеру змішання введений капіляр 8

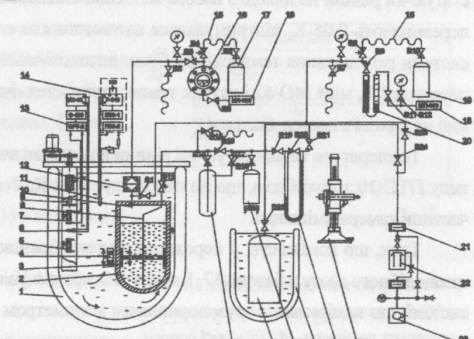


Рис. 7. Експериментальна установка для дослідження розчинності холодаагентів у компресорних мастилах:

1 - терmostат; 2 - камера змішання; 3 - магнітна мішалка; 4 - постійний магніт; 5 - розгинний нагрівач; 6 - датчик системи терморегулювання; 7 - нагрівач системи терморегулювання; 8 - капіляр для відбору проб рідкої фази розчину; 9 - електромеханічна мішалка терmostата; 10 - трубка для подачі в камеру змішання компонентів розчину; 11 - платиновий термометр опору ПТС-10; 12 - мембраний нуль-індикатор (розподільник); 13 - регулятор температури ВРТ-2; 14 - потенціометр Р-348; 15 - капіляр; 16 - газорозподільник; 17 - балон з газоподібним азотом; 18 - грузопоршиковий манометр МП-600 або МП-60; 19 - заправний балончик; 20 - рутний розподільник системи, що дожимає; 21 - вакуумна пастка; 22 - дифузійний насос ЦВЛ-100; 23 - форвакуумний насос ВН-461М; 24 - катетометр КМ-8; 25 - диференційний рутний манометр; 26 - термостат для волометричної посудини; 27 - балончик з дослідженням холодаагентом; 28 - волометрична посудина; 29 - пастка; B1...B28 - вентилі.

із внутрішнім діаметром 0,5 мм, через який вироблялися відбори проб рідкої фази розчину, і трубка 10, через яку здійснювалося вакуумування вимірювального осередку й заправлення компонентами розчину. З метою виключення баластових об'ємів камери змішання, мембраний нуль-індикатор і вентилі В1, В13 розміщені всередині терmostата 1.

У якості терmostатуючої рідини використовувалася кремнійорганічна рідина ПМС-100. Всі деталі, що мають контакт у процесі експерименту з досліджуваним зразком, виготовлені зі сталі X18H10T.

У терmostаті також розміщені розгінний 5 і регулюючий 7 нагрівачі, встановлені в потоці терmostатуючої рідини на вихід з насоса-мішалки. Стабільність температури в терmostаті з коливаннями, що не перевищують 0,05 К, підтримувалася автоматичною системою регулювання. Основними елементами системи регулювання температури були: високоточний регулятор температури ВРТ-2 (регулятор температури 13), міст МО-62 і датчик температури - технічний платиновий термометр опору 6, установлений на вихід з насоса мішалки.

Температура терmostатуючої рідини в дослідах вимірювалася платиновим термометром опору 11 типу ПТС-10 з похибкою, що не перевищує 0,02 К. Термометр 11 установлювався поблизу середньої частини камери змішання.

Тиск, що компенсує, у порожній над мембраною нуль-індикатора підтримується за допомогою газоподібного азоту з балона 17. Капіляр 15 забезпечував плавне рівномірне регулювання тиску азоту в системі, що вимірювався грузопоршневим манометром 18 МП-60 чи МП-600 класу точності 0,05 (через газорідинний роздільник 16).

Для вакуумування вимірювального осередку й очищення компонентів РХМ від газів, що не конденсуються, застосовувалася стандартна вакуумна система, що містила в собі форвакуумний насос 23 марки ВН-461М, дифузійний насос 22 ЦВЛ-100, азотні пастки 21. Система забезпечує підтримку вакууму порядку $(3...5) \cdot 10^{-1}$ Па.

Вимір маси розчиненого холодаагенту в пробі рідкої фази РХМ, відібраної з камери змішання, здійснювався у волометрі, що містить у собі наступні елементи: таровану ємність певного об'єму 28; лабірінтову пастку 29, призначену для запобігання можливого влучення мастила з узятої для аналізу проби РХМ у таровану ємність; ртутний диференціальний манометр 25. Конструкція диференціального манометра дозволяє переміщати у вертикальному напрямку обе його коліна, завдяки чому внутрішній об'єму волометра підтримується постійним. Проведені тарувальні експерименти показують, що відносна похибка виміру тиску у волометрі не перевищувала 0,05%. Спостереження за рівнем ртути в трубках манометра здійснювалося за допомогою катетометра 24 КМ-8 з похибкою не більше 0,015 мм.

У процесі відбору проби рідкої фази РХМ волометрична ємність підтримується при постійній температурі в терmostаті 26. Маса пастки до й після узяття проби визначалася пляхом зважування на лабораторних аналітических вагах АДВ-200М з похибкою, що не перевищує $5 \cdot 10^{-7}$ кг.

Для одержання відтворених результатів дослідження розчинності холодаагенту в мастилі й виключення грубих методичних похибок передбачається ретельне очищення компонентів досліджуваних сумішей. Видалення з мастила домішок води й газів, що не конденсуються, здійснюється при багаторазовій кристалізації й наступним вакуумуванням протягом 1 хвилини. Процедура очищення мастила від супутніх домішок повторюється кілька разів. Ступінь чистоти контролюється універсальним лаборатор-

рним рефрактометром ИРФ-23.

Для прискорення процесу розчинення холодаагенту в мастилі й вирівнювання поля температур застосовувалася магнітна мішалка 3 у рівноважній камері змішання. У проведених дослідженнях температура визначалася з похибкою 0,015 К, тиск - (0,33..2,4) %, концентрація рідкої фази розчину - 0,0053..0,0065 %.

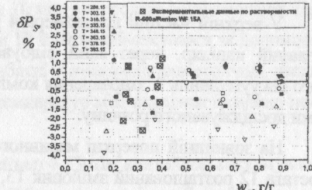
У дисертації вперше отримані експериментальні дані розчинності холодаагенту R-600a з мінеральним мастилом Reniso WF 15A у діапазоні температур $333 \leq T \leq 393$ К і тисків $5,9 \leq P \leq 28,4$ бар на двох заправних концентраціях, які були включені у вихідний масив даних по дослідження фазових рівноваг рідина-пар (див. розділ 2). Проведений аналіз показав, що дані з розчинності холодаагенту R-600a у компресорному мастилі Reniso WF 15A описуються рівнянням (1) з похибкою, що не перевищує похибку опису експериментальних даних з тиску насиченої пари розчину R-600a/Reniso WF 15A, отриманих статичним методом.

На рисунках 8.а та 8.б зображені відхилення експериментальних даних з тиску насиченої пари розчину R-600a/Reniso WF 15A, отриманих статичним методом, і відхилення експериментальних даних з розчинності холодаагенту R-600a у компресорному мастилі Reniso WF 15A від розрахованих за рівнянням (1). Таким чином, підтвердженій висновок про працездатність розробленої й створеної експериментальної установки для вивчення селективної розчинності багатокомпонентних холодаагентів у компресорних мастилах.

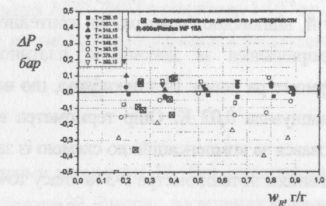
Четвертий розділ присвячений експериментальному дослідження ентальпії розчинів R-600a/Reniso WF 15A у широкому інтервалі концентрацій.

Досліди по дослідження ентальпії розчинів R-600a/Reniso WF 15A проводилися на установці, що реалізує метод змішання в крижаному калориметрі сталої температури. Принцип виміру кількості теплоти, підведені до калориметра, заснований на використанні ефекту зміни об'єму калориметричної речовини (льоду) при плавленні. Даний метод відрізняється надійним способом створення адіабатних умов і відносною простотою конструкції експериментальних установок поряд з високою точністю одержуваних експериментальних даних.

Схема експериментальної установки представлена на рисунку 9. Основними вузлами ї елементами установки є: контейнер для досліджуваної речовини 4; масивний мідний термостат 12; калориметрично посудина 2, заповнена очищеною від розчиненого повітря дистильованою водою з мірою посудини 23; посудина Дьюара 1 з льодом, що тане; калібротована скляна трубка 24 діаметром $(2,644 \pm 0,0025)$ мм для виміру об'єму льоду, що розплавився, попередньо намороженого на мідну гільзу 6. Установка оснащена вакуумною системою, що складається з форвакуумного 30 і дифузійного 29 насосів, кріогенних пасток 28, термопарних манометрических перетворювачів 26, 31 і іонізаційного манометра 27.



a)



б)

Рис. 8. Графіки відхилень для тиску насиченої пари і розчинності холодаагенту R-600a у мастилі RenisoWF15A при різних температурах

У верхній частині контейнера 4 розташований капіляр, через який відбувається його вакуумування й заправлення компонентами досліджуваного розчину.

На зовнішній поверхні масивного термостата 12 розташований змійовик 13, через який з допоміжного термостата 15 прокачувався теплоносій. Температура мідного блоку 9, відповідно, температура контейнера 4 вимірювалася за допомогою платинового термометра опору 14 з похибкою, що не перевищувала 0,02 К. Опір термометра вимірювався за компенсаційною схемою із застосуванням потенціометра Р-348 класу точності 0,002 і зразкової котушки Р-321 класу точності 0,01. Рівність температур контейнера 4 і термостата 12, а також процес охолодження контейнера в калориметричній посудині контролювалися диференціальною термопарою, показання якої вимірювалися мілівольтметром 17 типу Ф-136. Один спай диференціальної термопари був закріплений на поверхні контейнера, а два інших розташовувалися в термометричних кишенах мідного блоку й посудині Дьюара 8.

Масивний термостат 12 з'єднаний з калориметричною посудиною 2 тонкостінною нержавіючою трубою 10 (товщина стінки 0,2 мм). У нижній частині труби встановлена масивна мідна гільза 6, що забезпечувала інтенсивний і рівномірний відівід теплоти від контейнера з досліджуваним зразком до льоду, що тане, 5. Наморожування льоду 5 на зовнішній поверхні мідної гільзи 6 здійснювалося за рахунок охолодження при кипінні в ній холодаагенту R-134a, що попередньо в необхідній кількості заправляється з балончика 21.

Кількість льоду, що розплавився на мідній гільзі, визначалася по зміні рівня води в каліброваній скляній трубці 24. Вимір рівнів менісків води в каліброваній трубці в процесі експерименту здійснювалася катетометром 25 марки КМ-6 з похибкою 0,015 мм.

Переміщення контейнера (з мідного термостата 12 у калориметричний посудину 2 й назад) здійснювалося за допомогою магнітної підвіски, що складається з феромагнітного сердечника 19 і постійного магніту 20. Феромагнітний сердечник пов'язаний з контейнером тонкою шовковою ниткою 11 діаметром 0,2 мм.

З метою зменшення теплових втрат конвекцією в навколошнє середовище від контейнера, що пе-

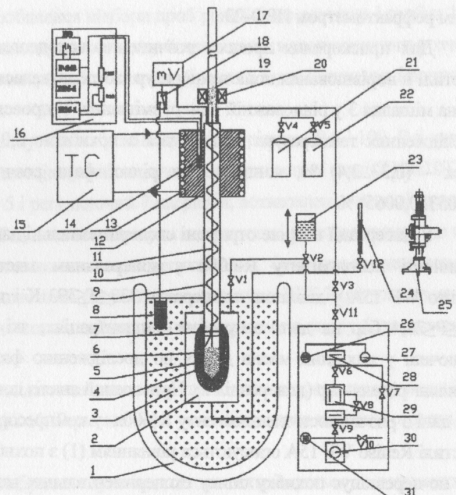


Рис. 9. Схема експериментальної установки:

- 1 - посудина Дьюара; 2 - калориметрична посудина з дистильованою водою; 3 - суміш вода-лід; 4 - контейнер; 5 - лід; 6 - мідна гільза; 7 - екраны; 8 - термометрична склянка; 9 - пружина; 10 - труба; 11 - нитка підвіси; 12 - мідний блок (термостат); 13 - змійовик; 14 - платиновий термометр опору; 15 - термостат; 16 - система вимірювання температури; 17 - мілівольтметр; 18 - перемикач контактів диференціальної термопари; 19 - феромагнітний сердечник; 20 - постійний магніт; 21 - балон з холодаагентом; 22 - балон з гелем; 23 - мідна посудина з дистильованою водою; 24 - калібрована скляна трубка; 25 - катетометр; 26, 31 - термопарний перетворювач; 27 - іонізаційний перетворювач; 28 - вакуумна пастка; 29 - дифузійний насос; 30 - форвакуумний насос.

ребуває в калориметричній посудині 2, внутрішній об'єм труби 10 під час досліду вакуумувався. Променістий теплообмін між контейнером і масивним термостатом 12 істотно обмежувався за допомогою двох екранів 7, закріплених на нитці 11 над контейнером 4. Адіабатні умови в калориметричній системі забезпечувалися також за рахунок підтримки нульової різниці температур між калориметричною посудиною 2 і льодом, що тане, 5 у посудині Дьюара 1.

Зразок мастила заправлявся в попередньо зважений контейнер 4. Потім контейнер вакуумувався, охолоджувався рідким азотом і заправлявся холодаагентом R-600a у кількості, необхідній для одержання необхідної концентрації РХМ. Маси заправлених у контейнер мастила m_{OL} і холодаагенту m_R визначалися за результатами його зважування на аналітичних вагах АДВ-200М с похибкою $1 \cdot 10^{-6}$ кг.

Масова концентрація холодаагенту w_R у досліджуваному розчині розраховувалася за формулою:

$$w_R = \frac{m_R - m_R^{vap}}{m_R + m_{OL} - m_R^{vap}}, \quad (8)$$

де m_R^{vap} – маса холодаагенту, що перебуває у парової фазі.

Нагрівання контейнера із РХМ здійснювалось у масивному термостаті 12. Для інтенсифікації цього процесу труба 10 заповнювалася газоподібним гелем з балона 22. З метою досягнення в розчині термодинамічної рівноваги контейнер витримувався при температурі досліду протягом однієї години, після чого опускався в мідну гільзу. Із цього моменту починається основний період експерименту, під час якого з певною періодичністю вимірювався рівень води в каліброваній трубці 24. Дослід завершувався, коли контейнер приймав температуру льоду, що тане, а тепlopротоки в калориметричну систему стали незмінними в часі.

Кількість теплоти, передана зразком РХМ льоду, що тане, у процесі експерименту, розраховувалася за формулою:

$$Q_{mix}(T) = Q - Q_{II} - Q_A - Q_{C_p}^{vap} - Q_r^{vap}, \quad (9)$$

де Q – загальна кількість тепла, яка була підведена до калориметричної системи в процесі експерименту; Q_{II} – кількість теплоти, що надійшла до калориметричної посудини у результаті тепlopротоків; Q_A – кількість теплоти, передана льоду, що тане, від порожнього контейнера (визначена за результатами тарувальних дослідів); $Q_{C_p}^{vap}$ – кількість теплоти, що виділилася в процесі охолодження парової фази зразка РХМ; Q_r^{vap} – кількість теплоти, що виділилася в процесі конденсації холодаагенту з парової фази РХМ.

У результаті виконаного експериментального дослідження була виміряна ентальпія компресорного мастила Reniso WF 15A і його розчинів з холодаагентом R-600a у діапазоні температур від 273,15 до 353,15 К. За оцінкою авторів, повна абсолютна похибка експериментальних даних не перевищує 0,75 Дж/т.

Питоме значення ентальпії досліджуваного зразка РХМ розраховувалося за формулою:

$$h'_r(T) = Q_{mix}(T)/m + h_0, \quad (10)$$

де m – середнє (протягом досліду) значення маси рідкої фази досліджуваного зразка РХМ; h_0 – значення ентальпії в початку відліку, за яку було прийнято стан киплячої рідини R-600a при температурі 273,15 К. Значення ентальпії в цьому стані було прийнято рівним 200 кДж/кг.

Аналітичний опис отриманих експериментальних даних з ентальпії рідкої фази розчинів R-600a/Reniso WF 15A проводився з використанням рівняння [1]:

1. Анчертбак С.Н. Термодинамические свойства растворов хладагента R-245fa с компрессорным полізифірним маслом : Дис... канд. техн. наук: 05.14.06. – Одеса, 2007. – 244 с.

$$\ln(h'_{mix}) = \ln(h_c) + h'_0 \cdot \tau^{\beta \cdot F'_h(\tau)}, \quad (11)$$

де h'_0 , β – коефіцієнти, обумовлені з експериментальних даних; h_c – значення ентальпії в критичній точці; $\tau = \ln(T_c/T)$ – зведена температура; $F'_h(t)$ – універсальна для неасоційованих речовин кросоверна функція [1].

Слід зазначити, що діапазон зведених температур, у якому була досліджена ентальпія компресорного мастила, виходить за межі застосованості рівняння (11). Тому використовувати в рівнянні (11) універсальну кросоверну функцію не представляється можливим. З метою збереження високих екстраполяційних можливостей рівняння (11) було запропоновано розраховувати кросоверну функцію для розчинів по рівнянню:

$$F'_{hMX}(\tau) = F'_h(\tau)_{REF} \cdot w_R + F'_h(\tau)_{OIL} \cdot (1-w_R), \quad (12)$$

де $F'_h(\tau)_{OIL}$, $F'_h(\tau)_{REF}$ – індивідуальні кросоверні функції для мастила й холодаагенту, відповідно, які були отримані при апроксимації даних з ентальпії компонентів розчину.

Виконана обробка отриманих експериментальних даних показує, що кореляція (11) адекватно, в межах експериментальної похибки, описує температурно-концентраційну залежність ентальпії РХМ і може бути рекомендована як для розрахунку таблиць довідкових даних, так і для вирішення екстраполяційних завдань.

Концентраційні залежності ентальпії розчинів компресорного мастила Reniso WF 15A з холодаагентом R-600a демонструє рисунок 10.

Як показують проведені в [1] дослідження фазових рівноваг, густини й поверхневого натягу РХМ, їхні термодинамічні властивості істотно відрізняються від властивостей ідеальних рідинних розчинів. Тому при вивчені ентальпії РХМ виникає необхідність коректного визначення теплових ефектів змішання.

Стосовно до розрахунку ентальпії змішання для РХМ дане питання залишається недостатньо вивченим. Ряд авторів при розрахунку ентальпії РХМ взагалі не враховують ефект змішання, вважаючи, що його внесок в ентальпію розчину невеликий (не маючи для цього ніяких експериментальних підтвердень). Інші автори вживають спроби розрахунку ентальпії змішання із даних з фазових рівноваг рідин-пар для РХМ, використовуючи формулу Кірхгофа.

Отримані у роботі результати експериментального дослідження ентальпії розчинів R-600a/Reniso WF 15A уперше дозволили коректно виконати аналіз значень ентальпії змішання, а також зіставити експериментальні дані з величинами, розрахованими за формулою Кірхгофа:

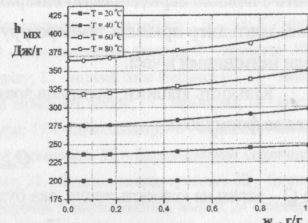


Рис. 10. Концентраційна залежність ентальпії розчинів мастила Reniso WF 15A з холодаагентом R-600a при різних температурах

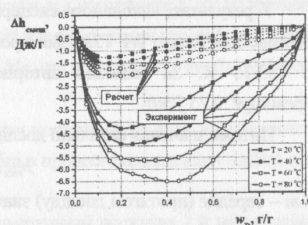


Рис. 11. Концентраційна залежність ентальпії змішання розчинів мастила Reniso WF 15A з холодаагентом R-600a при різних температурах

$$\Delta h_{\text{смеш}} = -w_R \frac{RT^2}{M_R} \left[\frac{\partial \ln(P_S/P_R^0)}{\partial T} \right]_{w_R}, \quad (13)$$

де M_R – молекулярна маса холодаагенту; P_S , P_R^0 – тиск насиченої пари розчину й холодаагенту відповідно.

Дійсна ентальпія змішання для розчинів мастила Reniso WF 15A з холодаагентом R-600a визначалася як різниця:

$$\Delta h_{\text{смеш, эксп}} = h'_{mix} - (h_{REF} \cdot w_R + h_{OIL} \cdot (1-w_R)),$$

де h_{REF} , h_{OIL} – ентальпії холодаагенту й мастила відповідно; h'_{mix} – ентальпія розчину, розрахована за формулою (11).

На рисунку 11 наведені значення ентальпії змішання, розраховані за формулами (13) і (14).

Із зіставлення відповідних величин виходить, що реальні значення ентальпії змішання для РХМ істотно перевищують дані, отримані за формулою Кірхгофа (13).

Варто відзначити, що питома холодопродуктивність і адіабатна робота стиску в компресорі визначаються як різниці ентальпії реального робочого тіла, що має різні концентрації домішок мастила у відповідних точках термодинамічного циклу. Тому, хоча абсолютні значення ентальпії змішання є невеликі, похибка у їхньому визначенні може привести до істотних помилок при оцінці показників ефективності термодинамічного циклу.

П'ятий розділ дисертації присвячений розробці діаграм тиск-ентальпія ($\lg P - h$) і діаграм Меркеля ($h - w_R$) для реального робочого тіла R-600a/Reniso WF 15A, а також визначенню впливу домішок мастила Reniso WF 15A у холодаагенті R-600a на енергетичні характеристики холодильного устаткування, що працює на R-600a. Показано, що наявність домішок мастила в холодаагенті значно впливає на його термодинамічні властивості, змінюючи тим самим положення точок холодильного циклу.

На підставі отриманої експериментальної інформації з використанням запропонованих у дисертації методів розрахунку термодинамічних властивостей РХМ розроблені діаграми тиск-ентальпія, а також діаграма ентальпія-концентрація (діаграма Меркеля) для реального робочого тіла – R-600a/Reniso WF 15A при різних концентраціях мастила перед дросельним пристроєм – c_g (див. рис 12 і 13).

Присутність мастила в холодаагенті завдає зменшує різницю між ентальпією на вході у випарник і виході з нього у порівнянні із чистим холодаагентом, що знаходить своє відбиття на зміні як питомої холодопродуктивності, так і адіабатної роботи стиску, а, отже, і холодильного коефіцієнту.

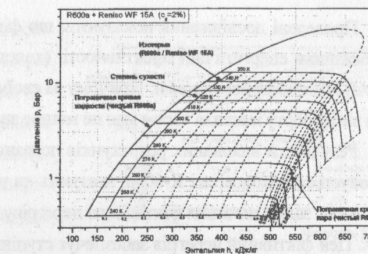


Рис. 12. Діаграма $\lg P - h$ робочого тіла R-600a/Reniso WF 15A при $c_g = 2\%$

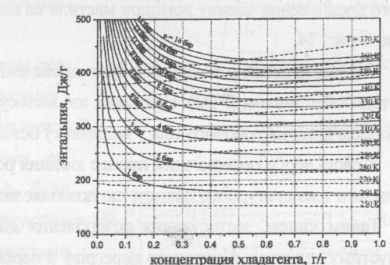


Рис. 13. Діаграма $h - w_R$ робочого тіла R-600a/Reniso WF 15A

Проведені дослідження показують, що фіктивний і регенеративний перегрів істотно впливають на показники енергетичної ефективності (холодопродуктивність, холодильний коефіцієнт, коефіцієнт подачі) компресорної системи. Причому за своїм впливом на холодопродуктивність компресорної системи вибір сорту масла часом має не менше значення, ніж вибір самого холодаагенту.

Результати виконаних розрахунків показників ефективності компресорної системи, у якій використовується холодаагент R-600a, вказують на те, що мінімальне достатнє, з точки зору вирішення холодильних задач значення фіктивного перегріву (МДП) для даного робочого тіла становить приблизно 5-7 К. Цей фіктивний перегрів забезпечує ступінь сухості PPT на вихід з випарника близько 0,95 (при $c_g = 4\%$). При даному фіктивному перегріві відносний внесок домішок масла в зміну адіабатної роботи стиску становить порядку 4-5%, питомої холодопродуктивності – 1,5%, холодильного коефіцієнту – 5-7% на 1% концентрації масла в холодаагенті перед дросельним пристроям. Деякі результати виконаного дослідження впливу домішок масла на показники ефективності компресорної системи демонструють рис. 14.

У дисертаційній роботі також були проведені розрахунки для холодильного циклу з регенеративним теплообмінником (РТО). Показано, що застосування РТО дозволяє досягти більшої ізотермічності процесів кипіння робочого тіла у випарнику без втрат енергетичної ефективності.

У свою чергу ізотермічний процес кипіння робочого тіла у випарнику призводить до збільшення середнього температурного напору, що дозволяє застосовувати теплообмінні апарати меншого розміру

Таким чином, застосування розроблених діаграм тиск-ентальпія для PPT дозволяє визначити припустиму величину фіктивного перегріву й перегріву в РТО, що забезпечує необхідну концентрацію рідкої фази РХМ для повернення в картер компресора.

Практична користь виконаних теоретичних досліджень складається в коректному обліку впливу домішок масла на енергетичні характеристики компресорної системи з метою розробки рекомендацій стосовно до контролю над циркуляцією масла й регулювання режиму роботи холодильного устаткування як на стадії випробувань, так і промислової експлуатації.

У даному розділі також проводиться порівняння отриманих результатів дослідження енергетичних характеристик компресорних систем працюючих на різних РРТ (R-600a/Reniso WF 15A, R-600a/XMI Азмол, R-134a+R-152a/ХФ 22c16, R-134a/Castrol Icematic SW22, R-134a/Mobil EAL Arctic 22, R-245fa/Planetelf ACD 100FY), із результатами експериментальних досліджень, представлених у літературі [2]. Також на підставі проведених досліджень виконано порівняння впливу домішок різних компресорних масел на енергетичні характеристики компресорних систем, що працюють на однакових холодаагентах.

У результаті проведених розрахунків були побудовані залежності відносної зміни енергетичних характеристик компресорних систем для різних РРТ у порівнянні із чистим холодаагентом (рис. 15-17).

Так, при аналізі представленої на рисунках 15-17 інформації видно, що масло Reniso WF 15A більше впливає на енергетичні характеристики компресорної системи працюючої на холодаагент R-600a, ніж масло XMI Азмол.

2. Lottin O., Guillemet P., Lebreton J-M. Effects of synthetic oil in a compression refrigeration system using R410A. Part I: modelling of the whole system and analysis of its response to an increase in the amount of circulating oil // Int. J. Refrig. – 2003. – № 26. – P. 772–782.

У той же час компресорне масло Mobil EAL Arctic 22 більше впливає на енергетичні характеристики компресорної системи, ніж масло Castrol Icematic SW 22 для системи, що працює на холодаагенті R-134a. Розходження в енергетичних характеристиках при заданих термодинамічних параметрах можуть становити: для питомої холодопродуктивності – 2%, для адіабатної роботи стиску – 4%, для холодильного коефіцієнта – до 5%.

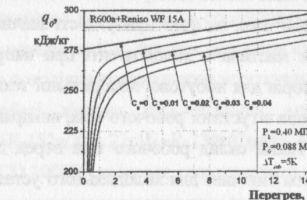
Таким чином, знаходить своє підтвердження раніше сформульований висновок про те, що вибір марки компресорного масла може більше впливати на енергетичні характеристики компресорної системи, ніж вибір альтернативних холодаагентів.

Також у даному розділі проводиться порівняння розрахованих показників ефективності компресорної системи з результатами експлуатаційних випробувань. Результати експлуатаційних випробувань компресорної системи, що працює на робочому тілі R-600a/Reniso WF 15A, були отримані на ЗАТ «Атлант» (м. Мінськ). Холодопродуктивність компресорів визначалася за методиками і формулами що відповідають ISO 917:1989 і ДСТ 17008-8.

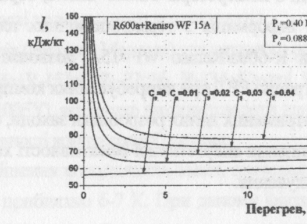
У результаті проведених випробувань компресорів були отримані наступні результати: потужність нагрівачів у калориметрі – 145,793 Вт; холодопродуктивність компресора – 148,686 Вт; холодопродуктивність компресора по витратоміру – 147,347 Вт; витрата робочого тіла – $4,365 \cdot 10^{-4}$ кг/с.

Параметри проведення випробувань: температура перед дросельним вентилем – 32,2 °C; тиск у конденсаторі – 7,76 бар; температура на вихід з калориметра – 33,48 °C; тиск у випарнику (калориметр) – 0,605 бар (-24,3 °C).

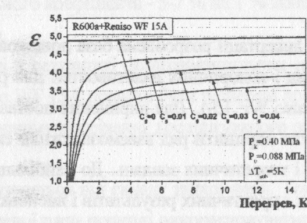
Аналізуючи отримані дані, можна констатувати, що на присутність домішок компресорного масла в робочому тілі вказує отримана різниця в значеннях холодопродуктивності, що розраховувалася як за властивостями чистого холодаагенту (холодопродуктивність по компресору), так і по кількості енергії, що підводиться до випарника у процесі експерименту (потужність нагрівачів). Різниця між цими величинами (147,347 і 145,793) указує на наявність у робочому тілі приблизно 0,75% масла перед дросельним вентилем. Ця концентрація отримана з використанням даних з термодинамічних властиво-



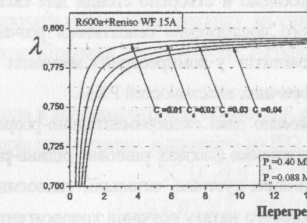
а



б



в



г

Рис. 14. Залежність питомої холодопродуктивності – q_f , питомої адіабатної роботи стиску – l , холодильного коефіцієнта – ϵ і коефіцієнта подачі – λ від величин фіктивного перегріву при різних концентраціях масла в РРТ перед дросельним пристроям C_o .

У результаті проведених розрахунків були побудовані залежності відносної зміни енергетичних характеристик компресорних систем для різних РРТ у порівнянні із чистим холодаагентом (рис. 15-17).

стей розчинів холодаагенту R-600a з мастилом Reniso WF 15A.

Крім того, на факт присутності значних (до 2%) домішки мастила в холодаагенті при випробуваннях компресорів для побутової холодильної техніки вказує інформація з густини робочого тіла, вимірюна витратоміром. Такий склад робочого тіла перед дросельним пристроем типовий для холодильного устаткування, у якому відсутні ефективні системи мастиловиділення на виході з компресора. Таким чином, отримана в дисертації інформація з терmodинамічних властивостей розчинів R-600a/Reniso WF 15A дозволяє визначати концентрацію РРТ при випробуваннях компресорів і на основі отриманих даних розробляти заходи, спрямовані на підвищення енергетичної ефективності холодильного устаткування.

ВИСНОВКИ Й РЕЗУЛЬТАТИ

У дисертації розроблена база довідкових даних з термічних і калоричних властивостей для розчинів R-600a/Reniso WF 15A. Для вирішення поставленої мети треба було вирішити ряд взаємозалежних експериментальних і теоретичних завдань. До найбільш важливих наукових і практичних результатів і висновків, отриманих у дисертації, можуть бути віднесені:

1. Розроблено й створено стенді для експериментального дослідження селективності розчинності холодаагентів у компресорних мастилах і вивчення калоричних властивостей РХМ.
2. Отримано дані експериментально-розрахункового дослідження фазових рівноваг рідина-рідина й рідина-пара, густини, ентальпії, теплоємності й поверхневого натягу розчинів холодаагенту R-600a з мастилом Reniso WF 15A.
3. Запропоновано метод дослідження, обліку поправок і обробки експериментальних даних для енталпії розчинів холодаагент/мастило в адіабатному крижаному калориметрі.
4. Запропоновано методику визначення псевдокритичних параметрів для терmodинамічного моделювання густини РХМ.

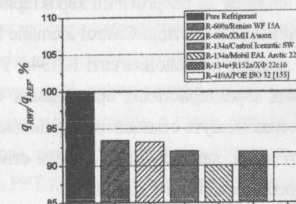


Рис. 15. Величина відносної зміни холодопродуктивності (q_{RWP}/q_{REF}) при концентрації мастила перед дросельним вентилем $c_g=4\%$ для різних РРТ у порівнянні із чистим холодаагентом.

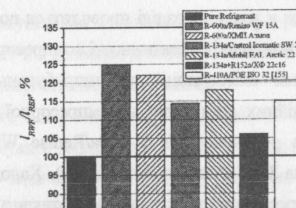


Рис. 16. Величина відносної зміни адіабатної роботи стиску (I_{RWP}/I_{REF}) при концентрації мастила перед дросельним вентилем $c_g=4\%$ для різних РРТ у порівнянні із чистим холодаагентом.

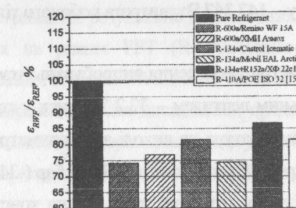


Рис. 17. Величина відносної зміни холодильного коефіцієнта ($\varepsilon_{RWP}/\varepsilon_{REF}$) при концентрації мастила перед дросельним вентилем $c_g=4\%$ для різних РРТ у порівнянні із чистим холодаагентом.

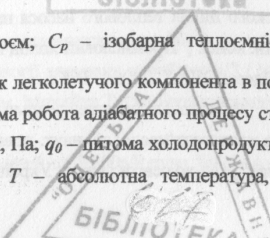
5. Розроблено таблиці довідкових даних з терmodинамічних властивостей розчинів R-600a з компресорним мастилом Reniso WF 15A. Інформація з тиску насиченої пари, густини, поверхневого натягу, енталпії й теплоємності R-600a/Reniso WF 15A рекомендується до використання при проектуванні випарників, компресорів і теплообмінників нового покоління холодильного устаткування.
6. Установлено, що застосування розроблених у роботі діаграм тиск-ентальпія для РРТ (R-600a/Reniso WF 15A, R-600a/XMI Azmol, R-134a+R-152a/XF 22c16, R-134a/Castrol Icematic SW 22, R-134a/Mobil EAL Arctic 22, R-245fa/Planetelf ACD 100FY) дозволяє розраховувати енергетичні характеристики компресорних систем, що добре узгоджуються з результатами експлуатаційних досліджень компресорів, дозволяючи, таким чином, ще на стадії проектування створювати умови одержання максимальної енергетичної ефективності холодильного устаткування.
7. Розроблено діаграми тиск-ентальпія й енталпія-концентрація (діаграми Меркеля) для реального робочого тіла (R-600a/Reniso WF 15A, R-600a/XMI Azmol, R-134a+R-152a/XF 22c16, R-134a/Castrol Icematic SW 22, R-134a/Mobil EAL Arctic 22, R-245fa/Planetelf ACD 100FY), які зручно використовувати для обліку впливу домішок мастила на показники енергетичної ефективності компресорної системи.
8. Установлено, що мінімальне достатнє, з точки зору вирішення холодильних задач, значення фіктивного перегріву для R-600a/Reniso WF 15A становить приблизно 6,7 К. При даному фіктивному перегріві відносний внесок домішок мастила в зміну адіабатної роботи стиску становить порядку 4-5 %, питомої холодопродуктивності - 1,5 %, холодильного коефіцієнта - 5-7 % на 1 % концентрації мастила в холодаагенті перед дросельним пристроям.
9. Одержано підтвердження висновок про те, що отримані в результаті експериментальних вимірювань терmodинамічні властивості розчинів R-600a/Reniso WF 15A повинні бути віднесені до концепції рідкої фази розчину, що змінюється при ізохорному нагріванні досліджуваного зразка у вимірювальному осередку.
10. Встановлено, що склад поверхневого шару РХМ відрізняється від складу рідкої фази. Тому при терmodинамічному моделюванні густини й тиску насиченої пари повинні використовуватися різні значення псевдокритичних температур
11. Доведено, що широко застосовувана в роботах різних авторів методика розрахунку надлишкової енталпії для розчинів холодаагент/мастило за формулою Кірхгофа не забезпечує узгодження з отриманими в роботі експериментальними даними.
12. Запропоновано методику визначення концентрації мастила в холодаагенті при проведенні експлуатаційних випробувань холодопродуктивності компресорів виконуваних відповідно до ISO 917-89 і ДСТ 17008-8.

УМОВНІ ПОЗНАЧКИ Й ІНДЕКСИ

c_g – концентрації мастила в РРТ перед дросельним пристроям; C_p – ізобарна теплоємність, кДж/(кг·ДО); F – універсальні кросоверні функції; G – надлишок легкоклетучого компонента в поверхневому шарі рідкої фази, моль/м²; h – енталпія, кДж/кг; I – питома робота адіабатного процесу стиску, кДж/кг; M – молекулярна вага, кг/кмоль; m – маса, кг; P – тиск, Па; q_0 – питома холодопродуктивність, кДж/кг; R – універсальна газова стала, кДж/(моль·К); T – абсолютна температура, К;

XV1173

ІНСТИТУТ ХОЛОДА
ОНАХТ
БІБЛІОТЕКА



універсальна газова стала, кДж/(моль·К); T – абсолютна температура, К; $t = |1 - T/T_c|$, $\tau = \ln(T_c/T)$ – зведена температура; V – об'єм, м³ (пітомий, м³/кг; мольний, м³/моль); w – концентрація масова, кг/кг; n – концентрація мольна, моль/моль; α_R – критерій Ріделія; β і μ – критичні показники для густини і поверхневого натягу на лінії насыщення, відповідно; Δ – різниця й абсолютна похибка; δ – середньоквадратичне відхилення й відносне відхилення; λ – коефіцієнт подачі; ρ – густина, кг/м³; σ – поверхневий натяг, Н/м;

Верхні індекси – зважене середнє значення або псевдокритичний параметр; lq – принадлежність до рідкої фази; vap – принадлежність до парової фази; exs – надлишкові властивості.

Нижні індекси L – принадлежність до об'ємних властивостей; S – принадлежність до поверхневих властивостей; PPT – реальне робоче тіло; eff – ефективний; c – індекс критичних параметрів; mix – індекс розчину холодаагент/мастило; θ – параметри кипіння робочого тіла; oil – індекс мастила; R – індекс холодаагенту; s – властивість у стані насыщення.

ОСНОВНІ ПУБЛІКАЦІЇ ПО ТЕМІ ДИСЕРТАЦІЇ

1. Диаграммы для растворов хладагент – масло: зб. наук. праць [“Сучасні проблеми холодильної техніки і технології”] / М-во освіти і науки України, Одес. держ. академія холоду. – Одеса: ОДАХ, 2005. – 134 с. (Спецвип.: додаток до журналу «Холодильна техніка і технологія»)).
2. Практические аспекты применения диаграмм давление-энталпия для реальных рабочих тел: зб. наук. праць [“Сучасні проблеми холодильної техніки і технології”] / М-во освіти і науки України, Одес. держ. академія холоду. – Одеса: ОДАХ, 2005. – 134 с. (Спецвип.: додаток до журналу «Холодильна техніка і технологія»)).
3. Термодинамически согласованная методика прогнозирования термических и калорических свойств веществ на линии насыщения: материалы докладов и сообщений XI Российской конференции по теплофизическим свойствам, 4–7 октября 2005 г., Санкт-Петербург, Россия. Т. 1 / Акад. наук России, Санкт-Петербург. гос. унів. низк. и пищ. техн. [и др.]. – С.-П. : СПбГУНиПТ, 2005. – 320 с.
4. Железный В.П. Влияние примесей масла на теоретические показатели эффективности холодильной системы / В.П. Железный, Д.А. Проценко, С.В. Ниченко // Холодильная техника. – 2005. – №11. – С.42–45.
5. Железный В.П. Влияние примесей масла на теоретические показатели эффективности холодильной системы / В.П. Железный, Д.А. Проценко, С.В. Ниченко // Холодильная техника. – 2005. – №12. – С.34–37.
6. Влияние примесей компрессорного масла Planetelf ACD 100 FY на эффективность термодинамического цикла теплового насоса на хладагенте R245fa: зб. наук. праць за матеріалами міжнар. наук.-техн. конф. [“Промисловий холод і аміак”] / М-во освіти і науки України, Одес. держ. академія холоду. – Одеса: ОДАХ, 2006. – 168 с.
7. Фактивный перегрев реальных рабочих тел в испарителе и кривые расслоения некоторых растворов хладагент/масло: зб. наук. праць за матеріалами міжнар. наук.-техн. конф. [“Промисловий холод і аміак”] / М-во освіти і науки України, Одес. держ. академія холоду. – Одеса: ОДАХ, 2006. – 168 с.

8. Вплив домішок мастила на теоретичні показники ефективності компресорної системи на робочому тілі R600a/HMI Azmol: зб. наукових праць [“Обладнання та технології харчових виробництв”] / М-во освіти і науки України, Донецький нац. унів. Економіки і торгівлі ім. Михайла Туган-Барановського. – Дон.: ДонНУЕТ, 2006. – 206 с.
9. Influence of admixtures of the compressor oil to the enthalpy of working fluid in evaporator : proc. 4-th international conference [“Compressors – 2004”], (Papiernicka, Slovak Republic, 2004) / International Institute of Refrigeration – S. : IIR, 2004. – 685 p.
10. The Accounting of Oil Additives Effect on Energy Efficiency of Refrigerating Equipment: proc. 5-th international conference [“Problems of industrial heat engineering”] / National Academy of Sciences of Ukraine, Ins. of Engineering Thermophysics. – K.: Inst. of Engineering Thermophysics, 2007. – 323 p.
11. Влияние примесей компрессорного масла на показатели эффективности компрессорной системы: зб. наук. праць [“Сучасні проблеми холодильної техніки і технології”] / М-во освіти і науки України, Одес. держ. академія холоду. – Одеса: ОДАХ, 2005. – 148 с.
12. Експериментальное исследование калорических свойств компрессорных масел и их растворов с хладагентами: зб. наук. праць [“Сучасні проблеми холодильної техніки і технології”] / М-во освіти і науки України, Одес. держ. академія холоду. – Одеса: ОДАХ, 2005. – 148 с.
13. Исследование давления насыщенных паров, плотности, капиллярной постоянной и поверхностного натяжения растворов изобутан/ Reniso WF 15A: зб. наук. праць [“Сучасні проблеми холодильної техніки і технології”] / М-во освіти і науки України, Одес. держ. академія холоду. – Одеса: ОДАХ, 2005. – 148 с.
14. Ниченко С.В. Экспериментальные исследования энталпии растворов хладагента R-600a с маслом Reniso WF 15A / С.В. Ниченко, Ю.В. Семенюк, В.П. Железный, Д.А. Проценко, // Холодильная техника і технологія. – 2008. – № 1. – С. 4-9.
15. An investigation of the thermophysical properties of solution refrigerant-compressor oil: R245fa/Planetelf ACD 100FY, R600a/HMI Azmol, R600a/Reniso WF 15A : proc. 5-th international conference [“Problems of industrial heat engineering”], (Kyiv, Ukraine, 22–26 May 2007) / National Academy of Sciences of Ukraine, Ins. of Engineering Thermophysics. – K.: Inst. of Engineering Thermophysics, 2007. – 323 p.
16. Семенюк Ю.В. Экспериментальное исследование растворимости хладагента R-600a в компрессорном масле Reniso WF 15A / Ю.В. Семенюк, С.В. Ниченко, В.П. Железный, В.В. Сеченых // Вестник Международной Академии Холода. – 2008. – № 1. – С. 10–14.
17. New method for prediction of the thermophysical properties for the refrigerant-oil solution : proc. 4-th international conference [“Phisics of liquid matter: Modern problems”], (Kyiv, Ukraine, 23–26 May 2008) / Ministry of Education and Science of Ukraine, Taras Shevchenko Kyiv National University. – K.: Taras Shevchenko Kyiv National University, 2008. – 154 p.
18. Экспериментальное исследование и моделирование термодинамических свойств растворов R600a/Reniso WF 15 A : зб. наукових праць [“Обладнання та технології харчових виробництв”] / М-во освіти і науки України, Донецький нац. унів. Економіки і торгівлі ім. Михайла Туган-Барановського. – Дон.: ДонНУЕТ, 2008. – 307 с.
19. Показатели эффективности компрессорной системы, работающей на R600a/Reniso WF 15A: зб.

наукових праць [“Обладнання та технології харчових виробництв”] / М-во освіти і науки України, Донецький нац. унів. Економіки і торгівлі ім. Михайла Туган-Барановського. – Дон.: ДонНУЕТ, 2008. – 307 с.

Особистий внесок автора в роботах, виконаних у співавторстві: [1, 3] – участь у розробці методів прогнозування термічних і калоричних властивостей речовин, розрахунки за запропонованими моделями і аналіз результатів розрахунку, підготовка матеріалів для публікацій і презентацій, доповіді на конференціях і участь у дискусіях; [2, 4, 5, 8, 9-11] – участь у розрахункових дослідженнях, підготовка матеріалів для публікацій і презентацій; [7, 12-19] – участь в експериментальному дослідженні, обробка експериментальних даних, розрахунки за запропонованими моделями, підготовка матеріалів для публікацій і презентацій, доповіді на конференціях і участь у дискусіях.

АНОТАЦІЯ

Ніченко С.В. Вплив компресорних мастил на термодинамічні властивості робочих тіл холодильного устаткування – Рукопис.

Дисертація на здобуття наукового ступеня кандидата технічних наук за спеціальністю 05.14.06 – «Технічна теплофізика та промислова теплоенергетика». – Одесська державна академія холоду, Одеса, 2008 р.

Дисертація присвячена комплексному експериментально-розрахунковому вивченню фазових рівноваг, термічних та калоричних властивостей на лінії насичення розчинів холодаагенту R-600a з мінеральним компресорним мастилом Reniso WF 15A, розробці з використанням отриманої інформації таблиц довідкових даних з термічних і калоричних властивостей для реального робочого тіла R-600a/компресорне мастило Reniso WF 15A, розробці діаграм тиск-ентальпія та ентальпія-концентрація (діаграми Меркеля) а також дослідженю впливу домішок мастила на показники енергетичної ефективності компресорної системи.

Для виконання поставлених у дисертації завдань використовувалась створена раніше експериментальна установка для проведення комплексних досліджень термодинамічних властивостей розчинів холодаагент/мастило (РХМ), включаючи: фазові рівноваги, поверхневий натяг і густину розчинів холодаагенту R-600a з мастилом Reniso WF 15A. Також була створена експериментальна установка та проведено експериментальні дослідження калоричних властивостей розчинів холодаагент/мастило.

З використанням отриманих експериментальних даних розроблено діаграми тиск-ентальпія та ентальпія-концентрація. У додатку дисертації наведені вперше отримані експериментальні дані з термічних і калоричних властивостей для реального робочого тіла R-600a/Reniso WF 15A.

Вперше для реального робочого тіла R-600a/Reniso WF 15A виконано теоретичне дослідження впливу домішок мастила в холодаагенті на показники ефективності холодильного циклу. Показано, що присутність домішок мастила в холодаагенті призводить до значного зниження холодопродуктивності та холодильного коефіцієнта, дослідено вплив концентрації мастила у холодаагенті перед дросельним пристрієм, а також величини перегріву робочого тіла у випарнику на показники енергетичної ефективності циклу.

Показано, що підбір оптимального сорту мастила має не менше значення, аніж вибір альтернативного холодаагенту. Розроблені практичні рекомендації для забезпечення нормальної циркуляції домішок мастила у холодаагенті R-600a по контуру холодильної системи. У наслідку виконаного дослідження показано, що використання регенеративного теплообмінника при використанні у холодильному обладнанні холодаагенту R-600a дозволяє у значній мірі знизити негативну наявність домішок мастила у випарнику та підвищити показники енергетичної ефективності термодинамічного циклу компресорної системи.

Ключові слова: холодаагент, розчин холодаагенту з мастилом, експеримент, термодинамічні властивості, фазові рівноваги, методи прогнозування, критичні параметри, реальне робоче тіло, діаграми тиск-ентальпія, діаграма ентальпія-концентрація.

АННОТАЦИЯ

Ніченко С.В. Влияние компрессорных масел на термодинамические свойства рабочих тел холодильного оборудования – Рукопись.

Диссертация на соискание ученой степени кандидата технических наук по специальности 05.14.06 – «Техническая теплофизика и промышленная теплоэнергетика». – Одесская государственная академия холода, Одесса, 2008 г.

Диссертация посвящена комплексному экспериментально-расчетному изучению фазовых равновесий, термических и калорических свойств на линии насыщения растворов хладагента R-600a в минеральном компрессорном масле Reniso WF 15A, разработке с использованием полученной информации таблиц справочных данных по термическим и калорическим свойствам для реального рабочего тела R-600a/компрессорное масло Reniso WF 15A, разработке диаграмм давление-энталпия и энталпия-концентрация (диаграммы Меркеля), а также исследование влияния примесей масла на показатели энергетической эффективности компрессорной системы.

Для осуществления поставленных в диссертации задач использовалась созданная ранее экспериментальная установка для проведения комплексных исследований термодинамических свойств растворов хладагент/масло (РХМ), включая: фазовые равновесия, поверхностное натяжение, плотность растворов хладагента R-600a с маслом Reniso WF 15A. Также была создана экспериментальная установка и проведены экспериментальные исследования калорических свойств растворов хладагент/масло.

С использованием полученных экспериментальных данных разработаны диаграммы давление-энталпия и энталпия-концентрация для реального рабочего тела R-600a/Reniso WF 15A. В приложении диссертации представлены впервые полученные экспериментальные данные по термическим и калорическим свойствам растворов R-600a/Reniso WF 15A.

Впервые для реального рабочего тела R-600a/Reniso WF 15A выполнено теоретическое исследование влияния примесей масла в хладагенте на показатели эффективности холодильного цикла. Показано, что присутствие примесей масла в хладагенте приводит к значительному снижению холодопроизводительности и холодильного коэффициента, исследовано влияние концентрации масла в хладагенте перед дроссельным устройством, а также величины перегрева рабочего тела в испарителе на показатели

тели энергетической эффективности цикла. Показано, что подбор оптимального сорта масла имеет не меньшее значение, чем выбор альтернативного хладагента. Разработаны практические рекомендации для обеспечения нормальной циркуляции примесей масла в хладагенте R-600a по контуру холодильной системы. В результате проведенного исследования показано, что применение регенеративного теплообменника при использовании в холодильном оборудовании хладагента R-600a позволяет в значительной мере снизить негативное влияние примесей масла в испарителе и повысить показатели энергетической эффективности термодинамического цикла компрессорной системы.

Ключевые слова: хладагент, раствор хладагента с маслом, эксперимент, термодинамические свойства, фазовые равновесия, методы прогнозирования, критические параметры, реальное рабочее тело, диаграммы давление-энталпия, диаграмма энталпия-концентрация.

ABSTRACT

Nichenko S.V. **Influence of compressor oils on the thermodynamic properties of working fluids for refrigerating equipment – Manuscript.**

Thesis for candidate of science (Engineering) degree by specialty 05.14.06 - «Technical Thermophysics and Industrial Thermal Engineering». – Odessa State Academy of Refrigeration, Odessa, 2008.

Dissertation is dedicated to the complex experimental and calculation investigation of phase equilibrium, thermal and calorific properties on the saturation line for solutions of R-600a with mineral compressor oil Reniso WF 15A, to development with the use of obtained information of reference data tables on thermal and calorific properties for the real working fluid R-600a/compressor oil Reniso WF 15A, to development of pressure-enthalpy diagrams and enthalpy-concentration diagrams (diagrams of Merkel), and also to research of influencing of compressor oil admixtures on the efficiency of the compressor system.

The created earlier experimental setup was used of complex investigation of thermodynamic properties of refrigerant oil solutions (ROS), including: phase equilibrium, surface-tension, density of R-600a with Reniso WF 15A compressor oil solutions. The experimental setup for investigation of calorific properties of refrigerant oil solutions was also created and the experimental investigation of calorific properties was performed.

With the use of the obtained experimental data the pressure-enthalpy diagrams and enthalpy-concentration diagrams (diagrams of Merkel) for the real working body of R-600a/Reniso WF 15A was developed. In the appendix of dissertation the experimental data on calorific and thermal properties of R-600a/Reniso WF 15A solutions are presented.

The results of theoretical research of influence of oil admixtures in the refrigerant on the efficiency of refrigeration machine working with the real working fluid R-600a/Reniso WF 15A are presented. It is shown that the presence of oil admixtures in refrigerant results in the decrease of refrigerating efficiency and coefficient of performance. Practical recommendations are developed for providing of normal circulation of oil admixtures circulating through the refrigeration system.

Keywords: refrigerant, refrigerant-oil solution, experiment, thermodynamic properties, phase equilibrium, methods of predicting, critical parameters, a real working fluid, pressure-enthalpy diagrams.

